

(42) 壓し出し性地山のトンネルにおけるロックボルト工の効果に関する3次元模型実験

建設省土木研究所

猪熊 明

1. 研究目的

本研究の目的は、3次元模型実験によって(1)ロックボルトエントンネルのトンネル周辺地盤中の地圧分布、変形を明らかにする、また(2)ロックボルトの長さの差異による作用効果の違いを把握することにある。

2. 模型実験方法

表-1 相似則パインバー

2.1 相似則

ゆるめ地圧のみ作用する

各トンネルの模型実験に関する相似則は、すでに現場計測例との比較を通して、ほぼ解明されてい (注)ここでは、 H =土かぶり高、 D =トンネル代表径、 C =地山粘着力、 r =地山単位体積重量、 ϕ =地山内部まさつ角、 f_u =地山の1軸圧縮強度、 E_e =地山の変形係数、 d =地山変位量、 l_{RB} =ロックボルト長さ、 α =同一断面におけるロックボルトの打設角度の間隔の平均 ($360\%/\alpha$ =同一断面内のロックボルト本数)、 l_{BP} =ベアリングプレートの代表径、 E_{RB} =ロックボルトの弾性係数、 f_{RB} =ロックボルトと地山の付着力とする。

型実験に関する相似則は

まだ明らかでない。ここでは、ゆるめ地圧の相似則に若干の修正を施し、さらにその上にロックボルト工に関する相似則パインバー(無次元量)を付加し、計12個の相似則パインバーを考慮することにする(表-1)。この相似則は、次元解析等の手順も踏んでおらず、実験と現場計測との比較によって確認されてもいいないので、将来修正されることが予測される版の相似則とでも言うべきものである。

2.2 実験装置、実験手順および測定項目

実験は以下のようにして行った。まず、 $75\text{cm} \times 75\text{cm} \times 75\text{cm}$ の立方体の土槽(図1)に実験地山材料をつめ、鉛直上方および正面より向って左側方より油圧ジャッキによる2方向2面載荷を行う。所定の載荷が終了した後、正面から手掘りにて直径 $1/8\text{cm}$ の円形トンネルを、一掘進長 2.5cm でトンネル延長が 50cm になるまで掘進した。掘進は、掘削、ズリ出し、ロックボルト打設(模型の

ロックボルトを手で地山内へ押し込む)、内空変位計測というサイクルパターンで $20\text{分} \times 20\text{回}$ に分けて行った。以上の実験を掘削実験と呼ぶことにする。

50cm の掘進を行った後、土かぶり圧の変化に伴うトンネル周辺応力、内空変位等の変化を調べるために、載荷圧を増加させた。これを、再載荷実験と呼ぶことにする。

測定項目は、①トンネル周辺の地中応力、②内空変位、③地中変位、④油圧ジャッキの載荷荷重、⑤載荷荷重であるが、本報では、紙面の都合上特に①と②に注目することにする。

トンネル周辺の地中応力計測には、合計35個の土圧計を図1のようにトンネルのSpring-lineを含む水平面

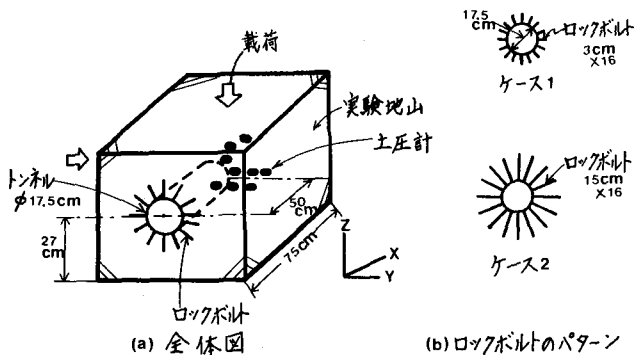


図1 実験装置の概略

上に配置した。その内30個は、鉛直方向の地中応力を計測するものであるが、残り5個は、トンネル半径方向の地圧を計測するよう設置された。土圧計とトンネルとの位置関係を図2に示す。また工槽の壁面直近に、基準応力測定用として、Y方向に2個、X方向に1個、計3個の土圧計が設置された(X, Yについては図1参照)。

内空変位は、トンネル坑口より22.5cmの地点で鉛直、水平の2方向が毎掘進回ごとに測定された。

2.3 地山材料およびロックボルト材料

地山材料の力学的物性値は、表-1を参照されたい。押し出し性地圧を発生させるために、とくに内部まさつ角を小さくした。これは、現場における新第三紀の花崗岩に代表されるような軟岩、粘性地盤を実験対象として考慮したものである。

ロックボルト材料として、#16の鉄金(直径約1.2mm)を選定した。またペアリングプレートは、形状が正方形で一边が1cmのブリキ板を用いた。ロックボルトの相似則バイインバーの内π11, π12は、ボルト材料の選定と関係があるので、特にここで述べる。

π11において、模型実験ではEe(記号の意味は表-1参照)は現場と比較してきわめて小さいので、ERBも小さくする必要がある。しかし、模型実験ではボルトのための削孔をしないので、ERBの小さいボルトは打設できない。したがって、π11は現場と模型実験で不一致のまま放置する。次に、π12について検討する。模型ボルトの実験地山に対する引抜き試験結果は、表-2の通りである。表-3を参照すれば、模型ではπ12=0.05である。これに対して現場では、 $\gamma_u = 5 \text{ kN/cm}^2$, $l_{RB} = 6 \text{ m}$, ボルト径=20mm, 引抜き耐力=10tと仮定して、π12=0.53となり、模型よりもかなり大きい。したがって、本実験ではロックボルトの径を基本の幾何縮率で算出される径(現場におけるロックボルト径/幾何縮率=20mm / 57.1 = 0.35mm)よりも大きくして補正してある。その結果、模型のπ12は0.17相当になるが、それでもなお小さい。結局π11とπ12を合わせて考えて、本模型実験を現場に換算すれば、通常のロックボルトよりもずっと剛なロックボルトが、ずっと小さい地山との付着力で設置されていることになる。ボルトの作用が顕著になった場合、その作用の効果は地山との付着力がネックになって抑制されるため、模型実験におけるロックボルトの支保効果は同じ状況の現場におけるそれよりも弱いものであることが予想される。

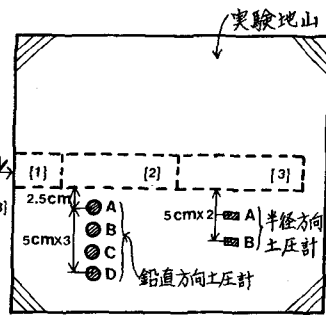
2.4 実験ケース数

実験ケースは、ロックボルトの長さをパラメータにして2ケース行った(表-3)。

3. 実験結果

3.1 ケース1の実験結果

まず掘削実験について述べる。一定圧力で載荷されている実験地山中をトンネルが掘進する時、トンネル周辺のSpring-lineを含む水平面上の接線方向(この場合、鉛直方向と一致する)地山応力がどのように変化するかを図3に示す。なお応力は、初期地圧を1.0として比で表示してある。装置の不備のため載荷圧が変化した場合には、それを考慮できるようにしてある。具体的には、次式で示す基準化応力によって応力比表示をする。



(平面図)

図2 土圧計とトンネルの位置関係 (1)-(3)は図3参照、土圧計のトンネル縦断方向の位置は鉛直方向、半径方向ともトンネル坑口より28cmのところである。)

表-2 #16鉄金ボルトの引抜き試験結果

耐力	ボルト長さ	$l_{RB}=5 \text{ cm}$	$l_{RB}=10 \text{ cm}$	$l_{RB}=16 \text{ cm}$
引抜き耐力 (kg)	64.5	131.5	161	
平均付着力強さ (kg/cm^2)	34.2	34.9	26.7	

表-3 実験ケース

	$l_{RB}(\text{cm})$	$360^\circ/\varphi(\text{本})$	$\gamma_u(\text{kN/cm}^2)$	掘削時	再載荷時
ケース1	3	16	0.630	0.7	0.7→2.0
ケース2	15	16	0.467	0.7	0.7→2.1

(注) 表中の記号については、表-1を参照されたい。

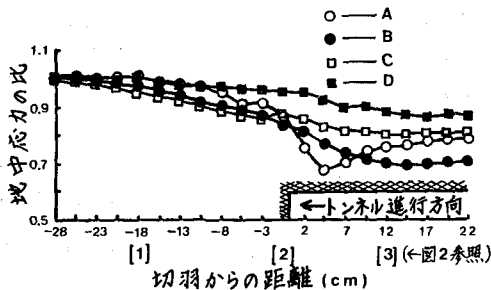


図3 トンネル周辺の接線方向地中応力比
(ケース1, 振削, A, B, C, Dは土圧計を示す。図2参照)

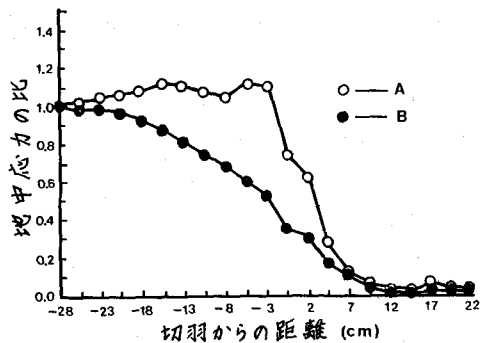


図4 トンネル周辺のトンネル半径方向地中応力比
(ケース1, 振削, A, Bは図2参照)

$$O_n = (\sigma / \sigma_0) / (P / P_0) \quad \cdots \cdots (1)$$

ここで O_n = 基準化された応力(応力比), σ = 計測された応力, σ_0 = 初期応力, P = 計測時の載荷圧, P_0 = 初期載荷圧とする。

図4には、トンネル切羽周辺の水平面におけるトンネル半径方向の地中応力比を示す。

再載荷実験では表-3に示すように、載荷圧を $0.7 \text{ kN/cm}^2 \rightarrow 2.0 \text{ kN/cm}^2$ まで加圧したが、内空変位は、装置

上の理由から載荷圧 1.1 kN/cm^2 程度までしか計測できなかったので、本報告ではこの範囲に解析を限定する。

載荷圧 $0.7 \text{ kN/cm}^2 \sim 1.1 \text{ kN/cm}^2$ での内空変位は、表-4に示す通りである。

3.2 ケース2の実験結果

振削実験について、3.1と同様の方法で、図5にトンネル周辺の接線方向地中応力を、図6にトンネル周辺のトンネル半径方向の地中応力を示す。

再載荷実験について、3.1と同じように、ここでは内空変位が正確に測定できた載荷圧は $0.7 \text{ kN/cm}^2 \sim 1.0 \text{ kN/cm}^2$ の範囲に解析を限定する。この間の内空変位を表-5に示す。

3.3 考察

表-5 内空変位 (ケース2, 再載荷)			
載荷圧(初期応力) kN/cm^2	0.7	0.8	1.0
内空変位 mm	4.08	5.74	9.96
d/D	0.023	0.033	0.057

ケース1, ケース2とともに、地山強度が初期応力に対してよ

り小さいため、切羽におけるエネルギー解放によって地山は降伏し、トンネル周辺の接線方向地中応力は、切羽付近で減少している³⁾。しかし、その減少率は、わずかながらケース1(約20%)の方がケース2(約10%)より大きい(図3, 図5)。これに対して、トンネル半径方向地中応力はケース1の方は、トンネルが通過することによってほぼ0.0近くまで減少しているが、ケース2の方は0.5程度

表-4 内空変位 (ケース1, 再載荷)

載荷圧(初期応力) kN/cm^2	0.7	0.8	0.9	1.0	1.1
内空変位 mm	4.08	5.74	9.96	13.7	17.02
d/D	0.023	0.033	0.057	0.078	0.097

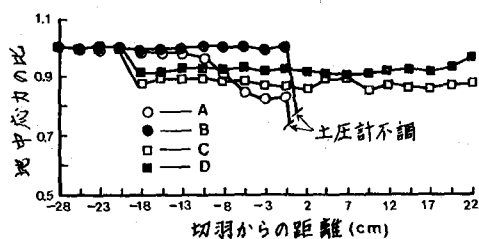


図5 トンネル周辺の接線方向地中応力比
(ケース2, 振削, A, B, C, Dは図2参照)

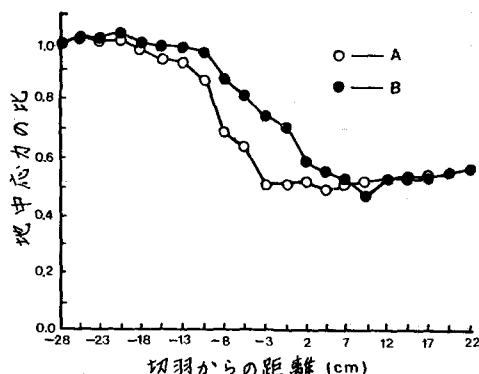


図6 トンネル周辺の半径方向地中応力比
(ケース2, 振削, A, Bは図2参照)

にまで減少しただけで、最小値に達した後若干の増加さえ示している(図4, 図6)。半径方向の応力が増加しているのに、接線方向の応力がそれほど増加しない原因は、地山のポアソン比の減少もしくは体積の減少(この場合体積一定とした時の見掛けポアソン比は減少を意味する)が発生したためと考えられる。事実、実験的にロックボルトのベアリングプレート部分から水がしみ出して来る現象がみられており、地山の圧密が急速に進行していることが推定できる。こうしたロックボルト打設領域における地山の強度増加現象は、現場においても確認されている。

内空度位は、掘削実験ではケース1とケース2でそれほど差はない。

したがって、実験条件に示されるような状況(地山強度、初期応力)においては、トンネルの掘削断面(内空)を確保するという目的からすると、あまり長いロックボルトを用いるのは経済的でないといえる。

ただし、同じ地山であっても初期応力(載荷圧)が異なると、長さの異なるロックボルトの支保効果の差は明瞭に表わされる(表-4, 表-5)。

実験結果を、相似則パイナンバーの型式でまとめると、表-6のようになる。表-6によれば、ケース1とケース2は、地質上の要因はほぼ等しいが支保要因が異なるため、結果として内空度位に関するパイナンバーが多少異なるという結果になっている。

また、残された問題に掘削面全体の安定効果がある。実際のトンネルはアーチ状であるため、コンクリート自体の破壊と、地山との付着部の破壊が複合された形の破壊形態を示す。これについては今後全体系を考慮したモデルにより実験・解析を行っていく予定である。

4. 結論

本研究で明らかになった点は、以下の通りである。

- (1) 地山の内部まさつ角がかなり小さくとも地山強度比が0.7程度あれば、一断面16本のロックボルトを打設する場合、ロックボルトの長さ $l_{R,B}$ がトンネル直徑Dに対して0.17の場合と0.86の場合で内空度位の差はそれほど顕著ではない。
- (2) 上記の条件で、切羽付近の応力状態は接線方向の応力状態ではそれほど大きい差は見られないのに、半径方向の応力状態には大きい相違がみられた。すなわち $l_{R,B}/D=0.17$ の方は半径方向応力はトンネル近傍でほぼ0になつたのに、 $l_{R,B}/D=0.86$ の場合には初期の地圧の0.5に減少しただけである。
- (3), (2)の現象は、 $l_{R,B}/D=0.86$ の実験では、トンネル近傍の地山が圧密されたことが原因であると推定される。
- (4) 上記の条件から初期地圧を約40%増加させてやると、ロックボルトの長さの差は内空度位の差に大きい影響を与えた。

参考文献

- 1)猪熊,石村,トンネル切羽付近の応力状態に関する模型実験,13回岩盤力学シンポ,1980.
- 2)今田,猪熊,石村,トンネルの力学に関する3次元的模型実験,土木学会論文集, No322, 1982.
- 3)Konda, Inokuma, Kanto, Three dimensional model tests on soft ground tunnels, ISRM SYMP, 1981, Weak Rock, Balkema pp 807~812
- 4)新潟県, personal communication.

表-6

パイナンバーによる実験結果

パイナンバー	記号	ケース1 (模型実験)	ケース2 (模型実験)
π ₁	H/D	23.0	22.8
π ₂	C/RH	0.5	0.45
	C/RD	11.6	10.2
π ₃	tanφ	0.04	0.05
π ₄	g _u /RH	0.8	0.6
π ₅	E _e /RH	25.7	14.16
π ₆	d/D	0.021	0.015
π ₇	d/H	0.001	0.0007
π ₈	l _{R,B} /D	0.17	0.86
π ₉	360°/θ	16	16
π ₁₀	l _{B,P} /D	0.06	0.06
H	cm	402	399
C	k ² /cm ²	0.399	0.35
γ	%/cm ³	1.973	1.958
D	cm	17.5	17.5
φ	°	2.20	3.00
d	cm	0.37	0.27
l _{R,B}	cm	3	15
θ	°	22.5	22.5
l _{B,P}	cm	1.13	1.13
g _u	k ² /cm ²	0.630	0.467
E _e (50)	k ² /cm ²	20.42	11.06

(42) Three Dimensional Model Tests on Tunnelling with
Rock Bolts in Squeezing Ground

By Akira Inokuma #

Summary

The purpose of the tests is to know the stress distribution around a tunnel supported with rock bolts and to clarify the difference of the effects due to the difference of rock bolt length.

The method of the experiments is as follows. The first step is to fill the earth tank with the model earth material. The second step is to give 68kPa pressure to the model earth. The third step is to excavate a 17.5 cm diameter tunnel 2.5 cm in length at a time and then to push 16 model rock bolts per section into the earth uniformly around the tunnel. The third step is repeated until the model tunnel becomes 50 cm long. The fourth step is to rise the pressure from 68kPa to 196kPa.

Two cases are done. Case 1 is the test of 3 cm long rock bolts. Case 2 is the one of 15 cm long rock bolts. The friction angle and uniaxial compressive strength are about 3 and 49 kPa each.

The results are as follows.

- (1) The distribution of the vertical stresses around the tunnel face is not so different between Case 1 and Case 2. But the distribution of the radial stresses is quite different between Case 1 and Case 2 in the stage of 68 kPa loading pressure.
- (2) The convergence is not so different between Case 1 and Case 2 at 68 kPa pressure level but quite different at the pressure higher than 98 kPa.
- (3) Consolidation is observed in the earth near rock bolts.

Ministry of Construction, P.W.R.I.